

Caracterização da Xenotima na Fácies Albita Granito do Granito Madeira (Pitinga, AM)

Denise Stolnik¹, Vitor Paulo Pereira¹, Egydio Menegotto¹, Artur Cezar Bastos Neto¹ (orient.)
¹ UFRGS – Instituto de Geociências.

Introdução e Objetivos

O Granito Madeira é formado pelas fácies anfibólio biotita sienogranito, feldspatoalcalino granito hipersolvus, biotita feldspato-alcalino granito e albita granito, sendo essa última subdividida em duas subfácies: albita granito de núcleo (AGN) e albita granito de borda (AGB).
 Objetiva-se com esse trabalho a identificação e descrição da xenotima presente na fácies albita granito, assim como sua paragênese associada e composição química.

Metodologia

- Descrições petrográficas com microscópio óptico;
- Análises por difração de raios X;
- Análises por microscopia eletrônica de varredura (EDS/MEV);
- Análises por microsonda eletrônica;
- Análise química de rocha total.

Resultados

A paragênese mineral na parte central da fácies albita granito de núcleo consiste de:

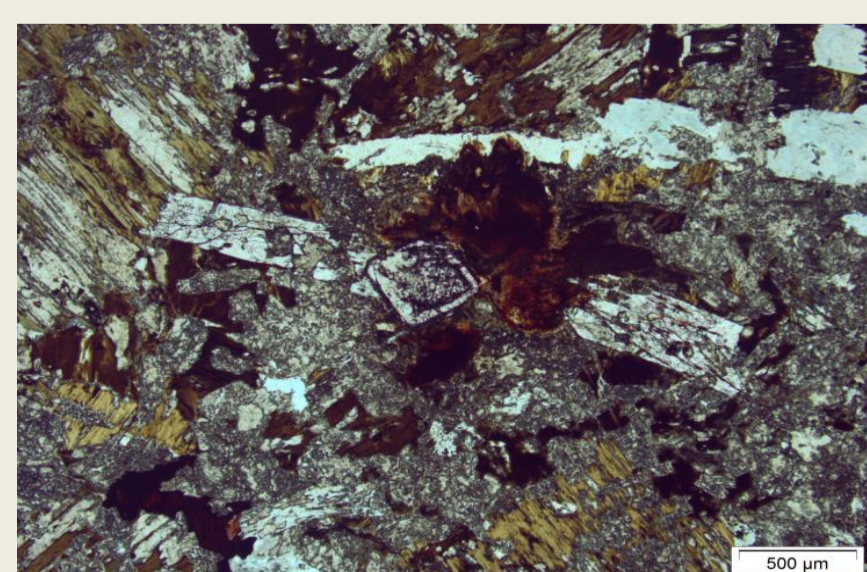
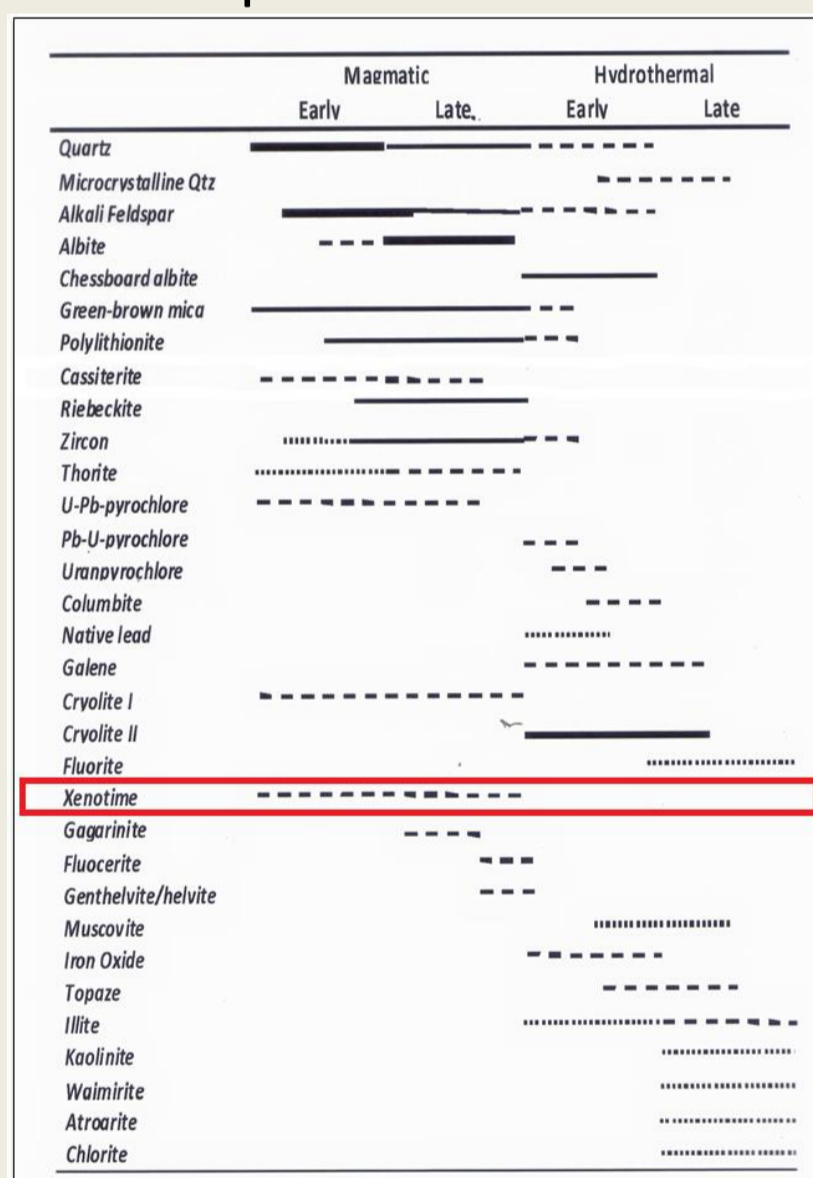


Foto 1. Cristal de xenotima associado a zircão e torita.

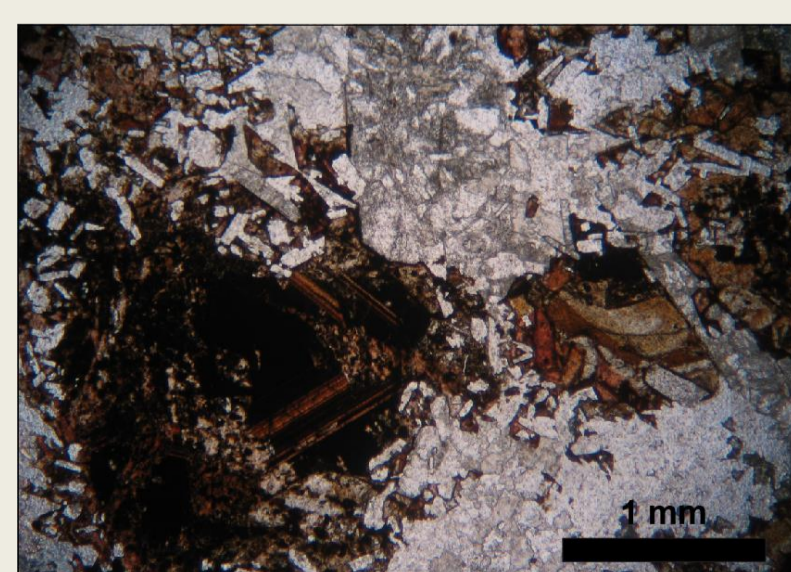


Foto 2. Cristal de xenotima associado a cassiterita.

Contexto Geológico e Localização

O Granito Madeira ($\approx 1,83\text{Ga}$) está localizado a aproximadamente 300 km a norte de Manaus e faz parte da Suíte Madeira. Ele intrude as rochas vulcânicas paleoproterozóicas do Grupo Iricoumé ($\approx 1,88\text{Ga}$), no sul do Escudo das Guianas, no Cráton Amazônico.

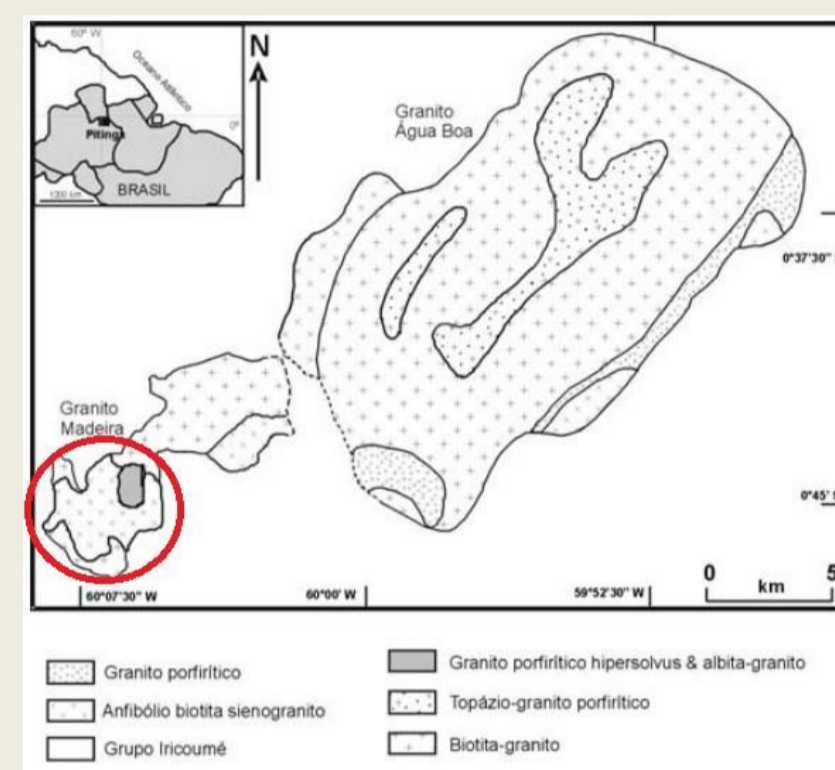


Figura 1. Localização e contexto geológico do Granito Madeira (em vermelho)

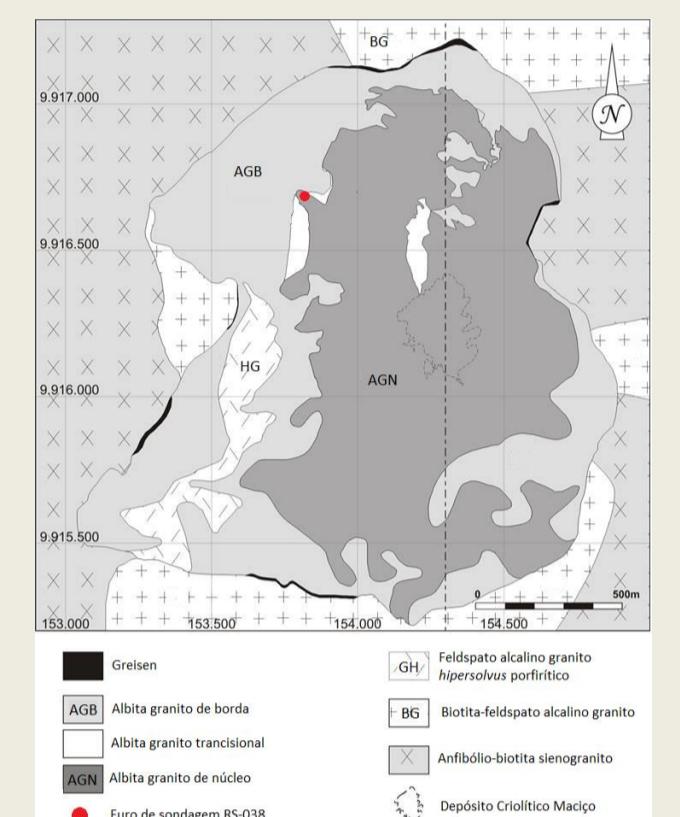


Figura 2. Granito Madeira e suas fácies. Em vermelho, o furo de sondagem RS-038.

	70_C4_Xen 4.1	70_C4_Xen 4.2	70_C4_Xen 4.3	70_C4_Xen 4.4	70_C4_Xen 4.5
F	0,351	1,260	1,092	1,380	1,029
Al2O3	0,003	0,000	0,000	0,012	0,007
SiO2	0,068	0,037	0,113	0,068	0,102
P2O5	31,757	30,223	29,769	30,822	31,302
TiO2	0,000	0,171	0,000	0,022	0,000
Y2O3	25,387	24,594	24,729	25,760	26,436
CaO	0,615	0,173	0,000	0,000	0,134
FeO	0,003	0,000	0,003	0,039	0,076
La2O3	0,000	0,001	0,003	0,022	0,000
Co2O3	0,049	0,104	0,193	0,076	0,101
Pr2O3	0,017	0,000	0,044	0,000	0,034
Nd2O3	0,022	0,036	0,131	0,109	0,095
Sm2O3	0,315	0,256	0,447	0,277	0,353
Eu2O3	0,000	0,087	0,000	0,060	0,022
Gd2O3	1,190	1,163	1,180	1,155	0,798
Tb2O3	0,623	0,639	0,528	0,573	0,519
Dy2O3	8,772	9,048	8,907	9,852	8,668
Ho2O3	2,949	3,049	2,550	3,181	2,726
Er2O3	16,386	16,824	16,860	18,504	16,371
Tm2O3	1,546	1,596	1,546	1,544	1,549
Yb2O3	12,271	16,069	16,500	15,387	14,056
Lu2O3	1,594	1,742	1,904	1,650	1,709
PHO	0,109	0,000	0,000	0,000	0,106
ThO2	0,000	0,037	0,029	0,147	0,195
UO2	0,008	0,062	0,133	0,000	0,131
Total	97,674	100,009	99,579	101,823	99,490
F+O	0,147	0,529	0,459	0,580	0,432
Total	97,674	100,009	99,579	101,823	99,490

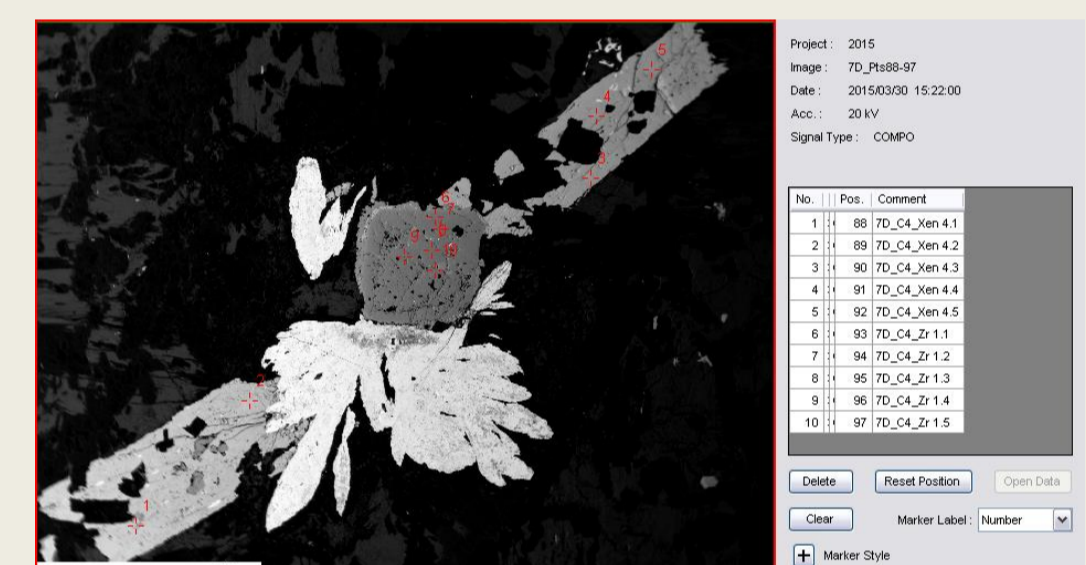


Figura 3. Cristal de xenotima com 5 análises.

As análises de microsonda realizadas no cristal de xenotima (Figura 3) apresentaram quantidades maiores de ETRP em relação aos valores de ETRL, destacando-se que os maiores valores de ETRP são encontrados no Gd, Dy, Er e Yb.

As análises químicas de rocha total apresentaram valores elevados de ETRP em relação aos valores de ETRL:

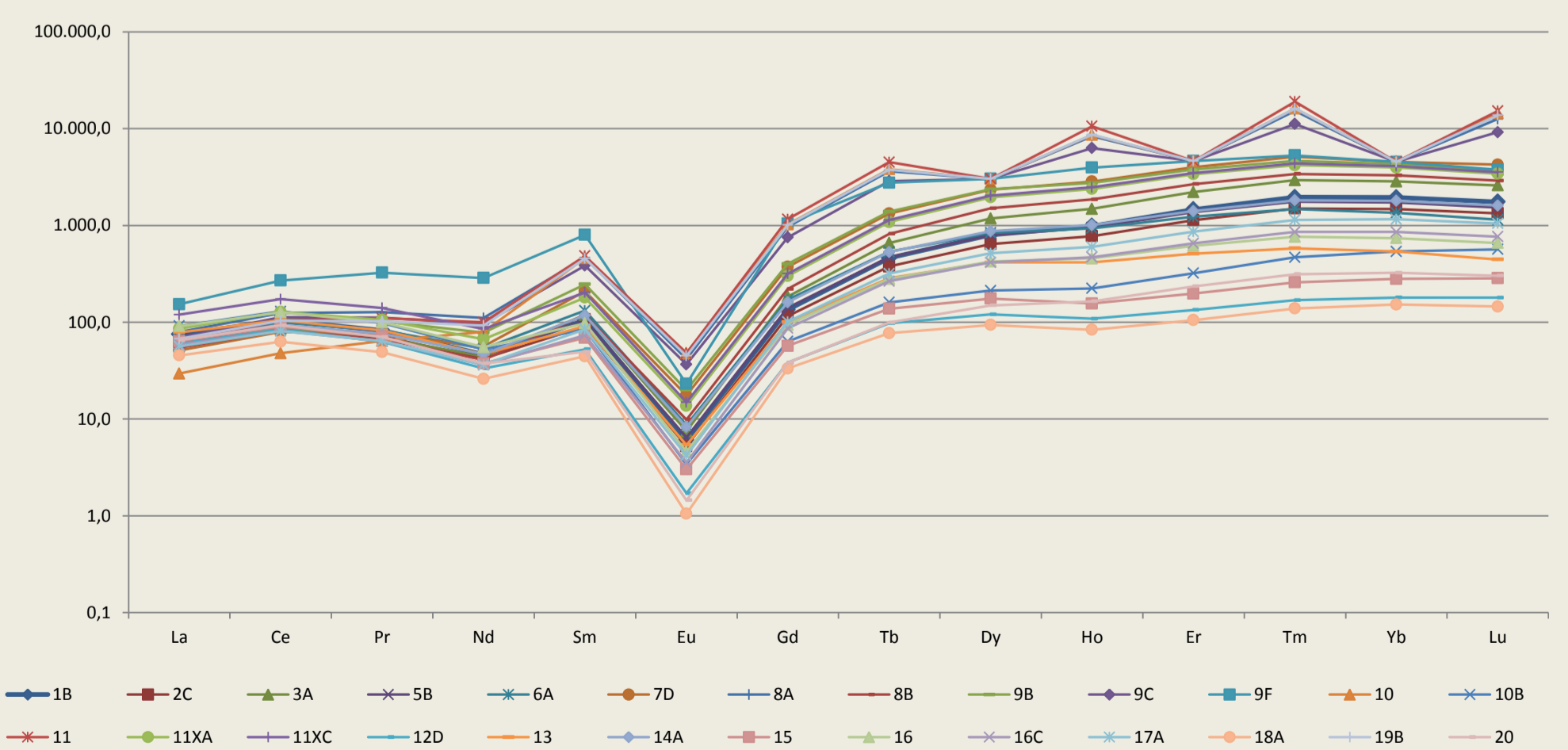


Gráfico 1. Resultado das análises químicas de rocha total nas 26 amostras, mostrando enriquecimento de ETRP em relação aos ETRL.

Conclusões

Nas análises de diferentes amostras do albita granito de núcleo foi possível identificar a xenotima em abundância, associada a zircão, pirocloro, cassiterita e torita, com elevados teores de ETRP em comparação aos ETRL.

Referências Bibliográficas

Bastos Neto, A.C., Pereira, V., Pires, A.C., Barbanson, L., Chauvet, A., 2012. F-rich xenotime from the Nb-Ta-Sn Madeira world class deposit associated with the albita-enriched granite at Pitinga (Amazonian, Brazil). *Canadian Mineralogist* 50, 1453-1466.